

- [2] Chen G., Wu B., You G. // Sic. Sinica (Ser. B). 1985. V. 82. P. 235.
- [3] Арумов Г.А., Крикунов С.А., Осепедчик Ю.С. и др. // Тез. докл. ХШ междунар. конф. по когерент. и непинейн. оптике. 1988. Ч. 4. С. 104.
- [4] Xu Z., Deng D., Zhao T., et al. // Chin. Phys. Lett. 1989. V. 6. P. 68-71.
- [5] Chen D., Yeh J. // Opt. Lett. 1988. V. 13. P. 808-810.
- [6] Bhar G.C., Das S., Chatterjee U. // Appl. Opt. 1989. V. 28. No 2. P. 202-204.
- [7] Ishida Y., Yajima T. // Opt. Commun. 1987. V. 62. P. 197.
- [8] Назаренко П.Н., Окладников Н.В., Скрипко Г.А. и др. // Оптика атмосферы. 1989. Т. 2. № 11. С. 1220-1227.
- [9] Kato K. // IEEE J. Quant. Electron. 1986. V. QE-22. P. 1013-1014.

Поступило в Редакцию  
4 января 1991 г.

Письма в ЖТФ, том 17, вып. 8

26 апреля 1991 г.

05.2; 07

© 1991

## РАДИАЦИОННО-НАВЕДЕННЫЕ ЦЕНТРЫ ОКРАСКИ В АЛЕКСАНДРИТЕ

П.Н. Яровой, В.Я. Медведев,  
Г.В. Букин, А.А. Михаленко,  
Л.А. Иванова

Оптическим характеристикам александрита ( $BeAl_2O_3:Cr^{3+}$ ) посвящено большое количество исследований, что связано прежде всего с его применением в качестве активной лазерной среды. Получена генерация излучения как на бесфононных переходах  $^2E \rightarrow ^4A_2$  ( $R$ -пиния), так и на электронно-колебательных переходах  $^4T_2 \rightarrow ^4A_2$  с перестройкой в диапазоне 700-800 нм [1-4].

В то же время информация о процессах релаксации энергии радиационного возбуждения и создания центров окраски в этом кристалле практически отсутствует. Этот вопрос представляется достаточно важным как в связи с тем, что александрит является ювелирным камнем, так и в связи с созданием в последнее время

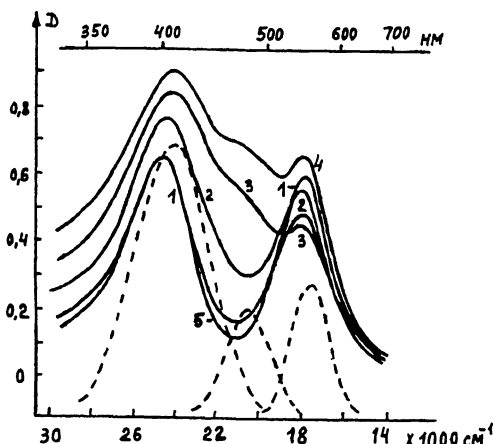


Рис. 1. Спектры поглощения облученного александрита.

Время облучения: 1–2, 2–20 и 3–60 мин ( $R$ ),  $4 \cdot 10^6 \rho (\mu)$ . Пунктиром обозначено разложение спектра (3,  $R$ ) при аппроксимации функциями Гаусса. Исходный образец – 5.

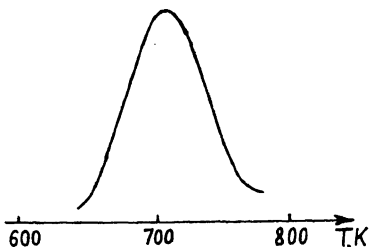
лазерных сред и пассивных лазерных затворов (ПЛЗ) на ионных кристаллах с центрами окраски (ЦО), в том числе на  $\alpha\text{-Al}_2\text{O}_3$  [5–7].

В настоящем кратком сообщении впервые приводятся результаты по радиационному созданию ЦО в александrite. Изучались образцы кристаллов  $0.5 \times 0.5 \times 0.1$  см, выращенных из расплава с концентрацией ионов 0.05 моль % и облученных рентгеновскими (УРС-55А, Mo, 30 кв., 10 mA) или  $\mu$  ( $CO^{60}$ ) квантами. При этом кристалл изменяет свои хромоформные характеристики, он приобретает красно-коричневую окраску. Спектры поглощения измерены на спектрофотометре "Specord", а термolumинесцентные (ТЛ) спектры получены по традиционной методике при скорости нагрева кристалла 2 град,  $s^{-1}$ .

На рис. 1 приведены спектры поглощения исходного и подвергнутого облучения кристаллов. Наблюдается появление новой полосы поглощения в диапазоне 400–500 нм, а также заметное изменение спектра в области 200–350 нм в облученном кристалле, что, очевидно, связано с созданием ЦО. Анализ формы полосы поглощения с помощью электронного синтезатора кривых СК-2 при аппроксимации спектров функциями Гаусса показал, что наряду с характерным для александрита  $\mathcal{U}$  и  $\gamma$ -полосами ( $\lambda_{max} = 420$  и 570 нм), связанными с переходами  ${}^4A_2 \rightarrow {}^4T_1$  и  ${}^4A_2 \rightarrow {}^4T_2$  [3], в спектре присутствует новая полоса поглощения с  $\lambda_{max} = 490$  нм (рис. 1), интенсивность которой растет с увеличением времени облучения.

При фотостимуляции в полосе с  $\lambda_{max} = 490$  нм наблюдается люминесценция, характерная для ионов  $Cr^{3+}$  в александrite.

Рис. 2. Спектр термolumинесценции облученного ( $\text{R}$ ), 20 мин александрита.



Методом термоактивационной спектроскопии показано, что облученный кристалл обладает достаточно интенсивной термolumинесценцией (ТЛ). На кривой ТЛ (рис. 2)

выделяется пик с  $T_{max} = 712 \text{ K}$ . Рассчитанные по форме кривой ТЛ [8] энергия термической активации  $E_T$  и частотный фактор  $P_0$  имеют для этого пика соответственно значения: 1.2 эВ и  $7.4 \cdot 10^6 \text{ C}^{-1}$ . Наряду с ТЛ, связанной с освобождением носителей заряда с глубоких ловушек ( $T_{max} = 712 \text{ K}$ ), наблюдается слабое свечение в диапазоне температур 100–250 К. Как показали предварительные опыты, спектр ТЛ совпадает со спектром при оптической стимуляции кристалла. После нагревания александрит приобретает первоначальную характерную для него окраску.

Создание ЦО в александrite может быть объяснено покализацией носителей заряда на катионных  $V_c^{3-}$ ,  $V_c^{2-}$ , анионных  $V_a^{2+}$  вакансиях и примесных ионах хрома. В результате образуются  $F^+$ ,  $V^-$ ,  $V^{\pm}$  и другие центры. Генерация подобных центров наблюдалась в облученном рубине [9].

Учитывая полученные оптические и термические характеристики ЦО ( $T_{max} = 712 \text{ K}$ ) можно, видимо, считать, что люминесценция при фото- и термостимуляции носит рекомбинационный характер, а сравнительно малая величина энергии термической активации (1.2 эВ) и частотного фактора  $P_0$ , вероятно, свидетельствует о прыжковом механизме миграции носителей заряда [10].

Учитывая перекрытие  $U$  и  $Y$  полос поглощения для ионов  $Cr^{3+}$  с полосой поглощения для центров окраски ( $\lambda_{max} = 490 \text{ нм}$ ), нельзя, видимо, исключить и вероятность резонансной передачи энергии между этими центрами.

Таким образом, под действием радиационного облучения в александrite эффективно образуются термически стабильные при  $T = 300 \text{ K}$  центры окраски преимущественно одного типа. Кристалл при этом изменяет свои хромоформные характеристики. Для конкретизации природы ЦО, механизмов передачи энергии, изучения стабильности центров, очевидно, требуются дальнейшие исследования.

#### Список литературы

- [1] Walling J.C., Heller D.F., Samelson H., Harter D.J., Pete J.A., Morris R.C. // JEEE J. Quant. Elect. 1985. V. QF. N 10. P. 1568–1581.
- [2] Севастьянов Б.К., Ремигайло Ю.Л., Орехова В.П., Матросов В.П., Цвет-

ков Е.Г., Букин Г.В. // ДАН СССР. 1988. Т. 256.  
№ 2. С. 373-376.

- [3] Пестряков Е.В., Трунов В.И., Алимпиев А.И., Солинцев В.П. // Изв. АН СССР. Сер. физич. 1988. Т. 52. № 6. С. 1184-1191.
- [4] Букин Г.В., Волков С.Ю., Матросов В.Н., Севастьянов Б.К., Тимошечкин М.И. // Квантовая электроника. 1978. Т. 5. С. 1168-1169.
- [5] Архангельская В.А., Феофилов П.П. // Квантовая электроника. 1980. Т. 7. № 6. С. 1141-1160.
- [6] Парфинович И.А., Хулугуров В.М., Лобанов Б.Д., Максимова Н.Т. // Изв. АН СССР. Сер. физич. 1979. Т. 43. № 6. С. 1125-1132.
- [7] Токарев А.Г., Мартынович Е.Ф., Зипов С.А. // Изв. вузов. Физика. 1987. № 10. С. 41-46.
- [8] Лущик Ч.Б. // Тр. инст. физики и астрономии АН СССР. 1955. В. 5. С. 230.
- [9] Войцех Т.И., Грицина В.Т., Сикора А.В. // Укр. физич. журн. 1987. Т. 32. № 7. С. 1042-1047.
- [10] Валбис Я.А., Купис П.А., Тапе И.А. // Тез. докл. 1У Всесоюз. симп. "Люминесцентные приемники и преобразователи рентгеновского излучения". Иркутск, 1982. С. 13.

Поступило в Редакцию  
1 февраля 1991 г.

Письма в ЖТФ, том 17, вып. 8

26 апреля 1991 г.

05.4

© 1991

## НАРУШЕНИЕ ЗАКОНА ПОДОБИЯ В СЛОИСТЫХ СВЕРХПРОВОДЯЩИХ СТРУКТУРАХ

А.Н. Лыков, В.И. Здравков

Экспериментальному исследованию пиннига вихрей в сверхпроводниках посвящено большое количество работ [1]. Однако обычно эти работы носят качественный характер. При этом большое внимание уделяется эмпирическим закономерностям. Так, в работе Крамера [2] при анализе экспериментальных результатов, полученных в процессе исследования токонесущей способности сверхпроводников 2-го рода с большим  $\varphi$ -параметром Гинзбурга-Ландау, обнаружен закон подобия для объемной силы пиннига:

$$P_\varphi = B j_c = [H_{c2}(T)]^2 f(h), \quad (1)$$